

1 Table S1. Gibbs free formation energies (ΔG , kcal/mol) of clusters in the present study at different
 2 temperatures.

Clusters	ΔG (kcal/mol)	
	280 K (Lu et al., 2020)	260 K
(TFA) ₂	-5.76	-6.51
(TFA) ₃	-3.79	-5.24
(SA) ₁ (TFA) ₁	-7.83	-8.53
(SA) ₁ (TFA) ₂	-13.49	-15.03
(SA) ₂ (TFA) ₁	-14.68	-16.27
(DMA) ₁ (TFA) ₁	-8.65	-9.31
(DMA) ₁ (TFA) ₂	-19.06	-20.57
(DMA) ₁ (TFA) ₃	-23.56	-26.06
(DMA) ₂ (TFA) ₂	-34.55	-36.88
(SA) ₁ (DMA) ₁ (TFA) ₁	-27.21	-28.67
(SA) ₂ (DMA) ₁ (TFA) ₁	-42.13	-44.48
(SA) ₁ (DMA) ₂ (TFA) ₁	-44.92	-47.27
(SA) ₁ (DMA) ₂ (TFA) ₂	-52.41	-55.74
(SA) ₂ (DMA) ₂ (TFA) ₁	-61.91	-65.25
(SA) ₁ (DMA) ₁ (TFA) ₂	-36.32	-38.57
(SA) ₂	-9.04	-9.72
(SA) ₃	-15.33	-16.87
(SA) ₂ (DMA) ₁	-36.30	-37.85
(SA) ₂ (DMA) ₂	-56.95	-59.26
(SA) ₃ (DMA) ₁	-50.06	-52.44
(SA) ₃ (DMA) ₂	-73.77	-76.90
(SA) ₃ (DMA) ₃	-94.24	-98.18
(SA) ₁ (DMA) ₁	-15.28	-15.98
(SA) ₂ (DMA) ₃ (TFA) ₁	-79.52	-83.64
(SA) ₁ (DMA) ₃ (TFA) ₂	-68.39	-72.51
(DMA) ₃ (TFA) ₃	-54.18	-58.31
(DMA) ₂ (TFA) ₃	-43.13	-46.42

3

4

5 Table S2. Collision coefficients (β , $\text{cm}^3 \text{ s}^{-1}$) for each cluster in the present study.

Collisions	Collision coefficients ($\text{cm}^3 \text{ s}^{-1}$)	
	280 K (Lu et al., 2020)	260 K
DMA+SA	2.45×10^{-10}	2.36×10^{-10}
(SA) ₁ (DMA) ₁ +SA	2.67×10^{-10}	2.57×10^{-10}
(SA) ₂ (DMA) ₁ +SA	2.61×10^{-10}	2.52×10^{-10}
(SA) ₂ (DMA) ₁ +DMA	3.91×10^{-10}	3.77×10^{-10}
(SA) ₂ (DMA) ₂ +SA	3.05×10^{-10}	2.94×10^{-10}
(SA) ₃ (DMA) ₂ +DMA	5.82×10^{-10}	5.61×10^{-10}
DMA+TFA	2.85×10^{-10}	2.75×10^{-10}
(SA) ₁ (DMA) ₁ +TFA	2.95×10^{-10}	2.84×10^{-10}
(SA) ₂ (DMA) ₁ +TFA	2.84×10^{-10}	2.74×10^{-10}
DMA+(SA) ₁ (DMA) ₁ (TFA) ₁	4.39×10^{-10}	4.23×10^{-10}
(SA) ₂ (DMA) ₂ +TFA	3.28×10^{-10}	3.16×10^{-10}
DMA+(SA) ₂ (DMA) ₂ (TFA) ₁	4.90×10^{-10}	4.72×10^{-10}
(DMA) ₁ (TFA) ₁ +TFA	3.26×10^{-10}	3.15×10^{-10}
TFA+(SA) ₁ (DMA) ₁ (TFA) ₁	3.17×10^{-10}	3.05×10^{-10}
(DMA) ₁ (TFA) ₂ +DMA	4.47×10^{-10}	4.31×10^{-10}
TFA+(SA) ₁ (DMA) ₂ (TFA) ₁	3.52×10^{-10}	3.39×10^{-10}
DMA+(SA) ₁ (DMA) ₂ (TFA) ₂	4.79×10^{-10}	4.62×10^{-10}
(DMA) ₁ (TFA) ₂ +TFA	3.21×10^{-10}	3.10×10^{-10}
(DMA) ₂ (TFA) ₂ +TFA	3.50×10^{-10}	3.38×10^{-10}
(DMA) ₂ (TFA) ₃ +DMA	4.69×10^{-10}	4.52×10^{-10}
TFA+TFA	2.25×10^{-10}	2.17×10^{-10}
(TFA) ₂ +TFA	3.35×10^{-10}	3.23×10^{-10}
SA+TFA	1.97×10^{-10}	1.90×10^{-10}
(SA) ₁ (TFA) ₁ +TFA	3.04×10^{-10}	2.93×10^{-10}
(SA) ₂ +TFA	2.80×10^{-10}	2.69×10^{-10}
SA+SA	1.70×10^{-10}	1.64×10^{-10}
(SA) ₂ +SA	2.55×10^{-10}	2.46×10^{-10}
(TFA) ₂ +SA	3.11×10^{-10}	3.00×10^{-10}
(TFA) ₃ +SA	3.38×10^{-10}	3.25×10^{-10}
(SA) ₁ (TFA) ₁ +SA	2.79×10^{-10}	2.69×10^{-10}
(SA) ₁ (TFA) ₂ +SA	4.54×10^{-10}	4.37×10^{-10}
(SA) ₂ (TFA) ₁ +SA	3.86×10^{-10}	3.72×10^{-10}
(DMA) ₁ (TFA) ₁ +SA	2.99×10^{-10}	2.88×10^{-10}
(DMA) ₁ (TFA) ₂ +SA	2.99×10^{-10}	2.87×10^{-10}
(DMA) ₁ (TFA) ₃ +SA	3.11×10^{-10}	3.00×10^{-10}
(DMA) ₂ (TFA) ₂ +SA	3.28×10^{-10}	3.16×10^{-10}
(DMA) ₃ (TFA) ₃ +SA	3.32×10^{-10}	3.20×10^{-10}
(DMA) ₂ (TFA) ₃ +SA	3.06×10^{-10}	2.95×10^{-10}
(SA) ₁ (DMA) ₁ (TFA) ₁ +SA	2.93×10^{-10}	2.83×10^{-10}
(SA) ₂ (DMA) ₁ (TFA) ₁ +SA	3.95×10^{-10}	3.80×10^{-10}
(SA) ₁ (DMA) ₂ (TFA) ₁ +SA	3.29×10^{-10}	3.17×10^{-10}

$(SA)_1 (DMA)_2 (TFA)_2+SA$	3.14×10^{-10}	3.02×10^{-10}
$(SA)_2 (DMA)_2 (TFA)_1+SA$	3.22×10^{-10}	3.10×10^{-10}
$(SA)_1 (DMA)_1 (TFA)_2+SA$	4.31×10^{-10}	4.15×10^{-10}
$(SA)_2 (DMA)_3 (TFA)_1+SA$	3.41×10^{-10}	3.29×10^{-10}
$(SA)_1 (DMA)_3 (TFA)_2+SA$	3.41×10^{-10}	3.28×10^{-10}
$(TFA)_2+DMA$	4.60×10^{-10}	4.43×10^{-10}
$(TFA)_3+DMA$	5.10×10^{-10}	4.91×10^{-10}
$(SA)_1 (TFA)_1+DMA$	4.14×10^{-10}	3.99×10^{-10}
$(SA)_1 (TFA)_2+DMA$	6.75×10^{-10}	6.51×10^{-10}
$(SA)_2 (TFA)_1+DMA$	5.76×10^{-10}	5.55×10^{-10}
$(DMA)_1 (TFA)_3+DMA$	4.74×10^{-10}	4.56×10^{-10}
$(SA)_2 (DMA)_1 (TFA)_1+DMA$	5.93×10^{-10}	5.71×10^{-10}
$(SA)_1 (DMA)_1 (TFA)_2+DMA$	6.46×10^{-10}	6.23×10^{-10}
$(SA)_1 (DMA)_1 (TFA)_1+(SA)_1 (DMA)_1$	3.80×10^{-10}	3.66×10^{-10}
$(SA)_1 (DMA)_2 (TFA)_1+(SA)_1 (DMA)_1$	4.14×10^{-10}	3.99×10^{-10}

6

7

8 Table S3. Total evaporation coefficients ($\Sigma\gamma$, s^{-1}) for each cluster in the present study.

Clusters	Total evaporation coefficients ($\Sigma\gamma$, s^{-1})	
	280 K (Lu et al., 2020)	260 K
(TFA) ₂	9.40×10^4	1.03×10^4
(TFA) ₃	3.03×10^{11}	1.06×10^{11}
(SA) ₁ (TFA) ₁	4.00×10^3	3.63×10^2
(SA) ₁ (TFA) ₂	7.54×10^3	5.82×10^2
(SA) ₂ (TFA) ₁	2.90×10^5	2.37×10^4
(DMA) ₁ (TFA) ₁	1.32×10^3	1.16×10^2
(DMA) ₁ (TFA) ₂	6.41×10^1	3.05
(DMA) ₁ (TFA) ₃	2.59×10^6	2.12×10^5
(DMA) ₂ (TFA) ₂	9.53×10^{-3}	2.38×10^{-4}
(SA) ₁ (DMA) ₁ (TFA) ₁	3.77	1.73×10^{-1}
(SA) ₂ (DMA) ₁ (TFA) ₁	2.10×10^5	2.07×10^4
(SA) ₁ (DMA) ₂ (TFA) ₁	1.73×10^{-4}	2.77×10^{-6}
(SA) ₁ (DMA) ₂ (TFA) ₂	1.31×10^4	7.27×10^2
(SA) ₂ (DMA) ₂ (TFA) ₁	1.16×10^6	8.23×10^4
(SA) ₁ (DMA) ₁ (TFA) ₂	6.44×10^2	4.11×10^1
(SA) ₂	1.96×10^2	1.56×10^1
(SA) ₃	8.23×10^4	6.77×10^3
(SA) ₂ (DMA) ₁	2.75×10^{-7}	3.01×10^{-9}
(SA) ₂ (DMA) ₂	7.82×10^{-7}	1.07×10^{-8}
(SA) ₃ (DMA) ₁	1.25×10^{-1}	3.87×10^{-3}
(SA) ₃ (DMA) ₂	5.95×10^{-4}	1.24×10^{-5}
(SA) ₃ (DMA) ₃	1.61×10^{-6}	2.05×10^{-8}
(SA) ₁ (DMA) ₁	7.62×10^{-3}	2.47×10^{-4}
(SA) ₂ (DMA) ₃ (TFA) ₁	2.31×10^{-4}	4.64×10^{-6}
(SA) ₁ (DMA) ₃ (TFA) ₂	4.23×10^{-3}	1.04×10^{-4}
(DMA) ₃ (TFA) ₃	2.92×10^1	1.29
(DMA) ₂ (TFA) ₃	1.85×10^3	9.12×10^1

9

10

11 Table S4. Ratios ($\beta C/\Sigma \gamma$) between monomer molecule collisions and evaporation coefficients for
 12 each cluster involving TFA in the present study. $[SA] = 1.0 \times 10^6$ molecules cm^{-3} , $[DMA] = 1.0 \times 10^7$
 13 molecules cm^{-3} , $[TFA] = 1.0 \times 10^6$ molecules cm^{-3} .

Clusters	$\beta C/\Sigma \gamma$	
	280 K	260 K
Collision with SA monomer: $C = [SA]$		
(TFA) ₂	3.30×10^{-9}	2.90×10^{-8}
(TFA) ₃	1.11×10^{-15}	3.06×10^{-15}
(SA) ₁ (TFA) ₁	6.98×10^{-8}	7.41×10^{-7}
(SA) ₁ (TFA) ₂	1.49×10^{-9}	1.54×10^{-8}
(SA) ₂ (TFA) ₁	1.33×10^{-9}	1.57×10^{-8}
(DMA) ₁ (TFA) ₁	2.26×10^{-7}	2.48×10^{-6}
(DMA) ₁ (TFA) ₂	4.65×10^{-6}	9.44×10^{-5}
(DMA) ₁ (TFA) ₃	1.20×10^{-10}	1.41×10^{-9}
(DMA) ₂ (TFA) ₂	3.45×10^{-2}	1.33
(DMA) ₃ (TFA) ₃	1.14×10^{-5}	2.48×10^{-4}
(DMA) ₂ (TFA) ₃	1.66×10^{-7}	3.23×10^{-6}
(SA) ₁ (DMA) ₁ (TFA) ₁	7.77×10^{-5}	1.64×10^{-3}
(SA) ₂ (DMA) ₁ (TFA) ₁	1.88×10^{-9}	1.84×10^{-8}
(SA) ₁ (DMA) ₂ (TFA) ₁	1.91	1.15×10^2
(SA) ₁ (DMA) ₂ (TFA) ₂	2.39×10^{-8}	4.16×10^{-7}
(SA) ₂ (DMA) ₂ (TFA) ₁	2.78×10^{-10}	3.77×10^{-9}
(SA) ₁ (DMA) ₁ (TFA) ₂	6.69×10^{-7}	1.01×10^{-5}
(SA) ₂ (DMA) ₃ (TFA) ₁	1.48	7.08×10^1
(SA) ₁ (DMA) ₃ (TFA) ₂	8.05×10^{-2}	3.14
Collision with DMA monomer: $C = [DMA]$		
(TFA) ₂	4.89×10^{-8}	4.30×10^{-7}
(TFA) ₃	1.68×10^{-14}	4.61×10^{-14}
(SA) ₁ (TFA) ₁	1.03×10^{-6}	1.10×10^{-5}
(SA) ₁ (TFA) ₂	2.22×10^{-8}	2.29×10^{-7}
(SA) ₂ (TFA) ₁	1.98×10^{-8}	2.34×10^{-7}
(DMA) ₁ (TFA) ₂	6.98×10^{-5}	1.42×10^{-3}
(DMA) ₁ (TFA) ₃	1.83×10^{-9}	2.15×10^{-8}
(DMA) ₂ (TFA) ₃	2.54×10^{-6}	4.95×10^{-5}
(SA) ₁ (DMA) ₁ (TFA) ₁	1.16×10^{-3}	2.45×10^{-2}
(SA) ₂ (DMA) ₁ (TFA) ₁	2.82×10^{-8}	2.76×10^{-7}
(SA) ₁ (DMA) ₂ (TFA) ₂	3.65×10^{-7}	6.35×10^{-6}
(SA) ₂ (DMA) ₂ (TFA) ₁	4.24×10^{-9}	5.74×10^{-8}
(SA) ₁ (DMA) ₁ (TFA) ₂	1.00×10^{-5}	1.52×10^{-4}
Collision with TFA monomer: $C = [TFA]$		
(TFA) ₂	3.56×10^{-9}	3.13×10^{-8}
(SA) ₁ (TFA) ₁	7.59×10^{-8}	8.07×10^{-7}
(DMA) ₁ (TFA) ₁	2.46×10^{-7}	2.71×10^{-6}

(DMA) ₁ (TFA) ₂	5.01×10^{-6}	1.02×10^{-4}
(DMA) ₂ (TFA) ₂	3.68×10^{-2}	1.42
(SA) ₁ (DMA) ₁ (TFA) ₁	8.39×10^{-5}	1.77×10^{-3}

14

15

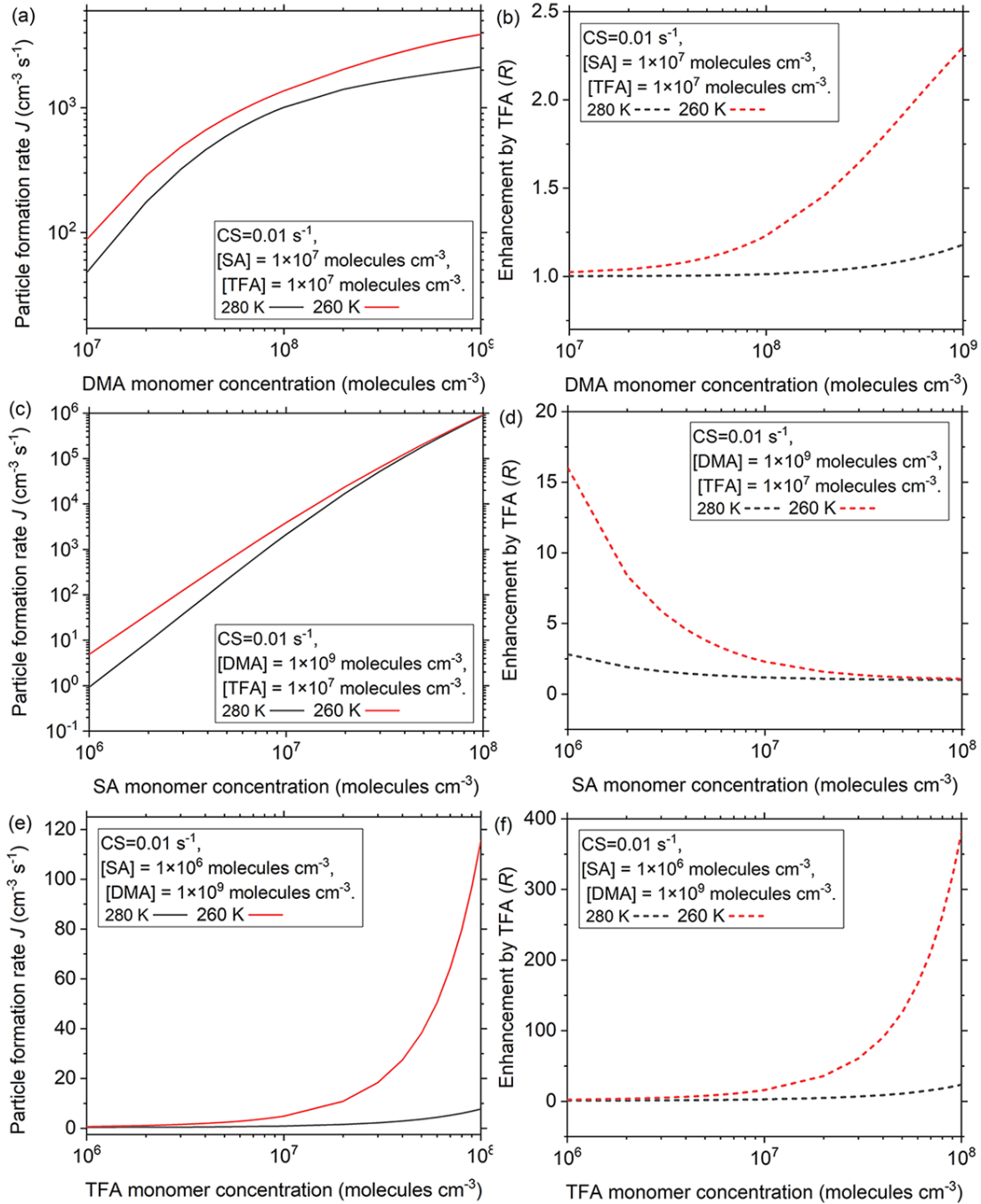
16 Table S5. Concentrations of DMA (molecules cm⁻³), temperatures (T , K), particle formation rates
 17 of SA-DMA-TFA system ($J_{\text{SA-DMA-TFA}}$, cm⁻³ s⁻¹) and SA-DMA system ($J_{\text{SA-DMA}}$, cm⁻³ s⁻¹) and the
 18 enhancement ($J_{\text{SA-DMA-TFA}}/J_{\text{SA-DMA}}$) on particle formation rates by TFA.

Cities	Month	[DMA] (molecules cm ⁻³)	T (K)	$J_{\text{SA-DMA-TFA}}$ (cm ⁻³ s ⁻¹)	$J_{\text{SA-DMA}}$ (cm ⁻³ s ⁻¹)	Enhancement
Beijing	1	9.37×10^7	265	3.07×10^{-1}	3.73×10^{-2}	8.12
	2	8.63×10^7	269	1.62×10^{-1}	3.51×10^{-2}	4.60
	3	7.49×10^7	275	4.04×10^{-2}	2.64×10^{-2}	1.53
	4	6.26×10^7	284	3.03×10^{-2}	2.15×10^{-2}	1.41
	5	4.25×10^7	291	1.57×10^{-2}	1.27×10^{-2}	1.23
	6	4.45×10^7	296	2.78×10^{-3}	2.75×10^{-3}	1.01
	7	3.09×10^7	298	8.71×10^{-3}	7.57×10^{-3}	1.15
	8	5.12×10^7	296	3.63×10^{-3}	3.58×10^{-3}	1.02
	9	6.01×10^7	291	2.83×10^{-2}	2.05×10^{-2}	1.38
	10	7.26×10^7	283	2.94×10^{-2}	2.25×10^{-2}	1.30
	11	1.52×10^8	274	1.21×10^{-1}	4.73×10^{-2}	2.56
	12	1.04×10^8	267	2.98×10^{-1}	4.03×10^{-2}	7.39
Shanghai	1	5.21×10^7	281	2.06×10^{-2}	1.63×10^{-2}	1.26
	2	5.28×10^7	282	2.28×10^{-2}	1.73×10^{-2}	1.32
	3	2.56×10^7	284	6.02×10^{-3}	5.38×10^{-3}	1.12
	4	2.13×10^7	287	4.09×10^{-3}	3.74×10^{-3}	1.09
	5	2.10×10^7	291	3.96×10^{-3}	3.62×10^{-3}	1.09
	6	2.51×10^7	295	5.76×10^{-3}	5.16×10^{-3}	1.12
	7	2.16×10^7	299	4.20×10^{-3}	3.84×10^{-3}	1.10
	8	2.49×10^7	299	5.65×10^{-3}	5.08×10^{-3}	1.11
	9	2.89×10^7	296	1.14×10^{-3}	1.13×10^{-3}	1.01
	10	3.58×10^7	290	1.15×10^{-2}	9.73×10^{-3}	1.18
	11	6.07×10^7	285	2.88×10^{-2}	2.07×10^{-2}	1.39
	12	6.30×10^7	280	3.06×10^{-2}	2.17×10^{-2}	1.41
Los Angeles	1	2.87×10^7	275	7.55×10^{-3}	6.64×10^{-3}	1.10
	2	2.99×10^7	277	8.18×10^{-3}	7.15×10^{-3}	1.10
	3	2.66×10^7	282	6.50×10^{-3}	5.78×10^{-3}	1.10
	4	4.70×10^7	288	9.00×10^{-3}	8.44×10^{-3}	1.10
	5	2.49×10^7	294	1.14×10^{-3}	1.12×10^{-3}	1.00
	6	6.42×10^7	298	3.15×10^{-2}	2.22×10^{-2}	1.40
	7	2.81×10^7	301	4.47×10^{-4}	4.45×10^{-4}	1.00
	8	4.36×10^7	301	1.17×10^{-3}	1.16×10^{-3}	1.00
	9	2.80×10^7	296	1.07×10^{-3}	1.06×10^{-3}	1.00
	10	4.16×10^7	291	1.51×10^{-2}	1.23×10^{-2}	1.20
	11	3.56×10^7	284	1.14×10^{-2}	9.64×10^{-3}	1.20
	12	7.14×10^7	278	3.75×10^{-2}	2.50×10^{-2}	1.50
New Delhi	1	1.42×10^8	287	1.09×10^{-1}	4.54×10^{-2}	2.41
	2	1.36×10^8	291	1.03×10^{-1}	4.41×10^{-2}	2.32
	3	8.49×10^7	297	7.58×10^{-3}	7.40×10^{-3}	1.02
	4	9.66×10^7	304	6.03×10^{-2}	3.38×10^{-2}	1.78

5	8.40×10^7	308	1.20×10^{-3}	1.20×10^{-3}	1.00
6	6.04×10^7	309	5.09×10^{-4}	5.08×10^{-4}	1.00
7	6.15×10^7	306	9.46×10^{-4}	9.44×10^{-4}	1.00
8	6.08×10^7	303	1.60×10^{-3}	1.59×10^{-3}	1.00
9	5.75×10^7	301	2.04×10^{-3}	2.02×10^{-3}	1.01
10	9.52×10^7	298	5.89×10^{-2}	3.33×10^{-2}	1.77
11	1.15×10^8	293	7.87×10^{-2}	3.90×10^{-2}	2.02
12	1.24×10^8	289	8.92×10^{-2}	4.14×10^{-2}	2.15

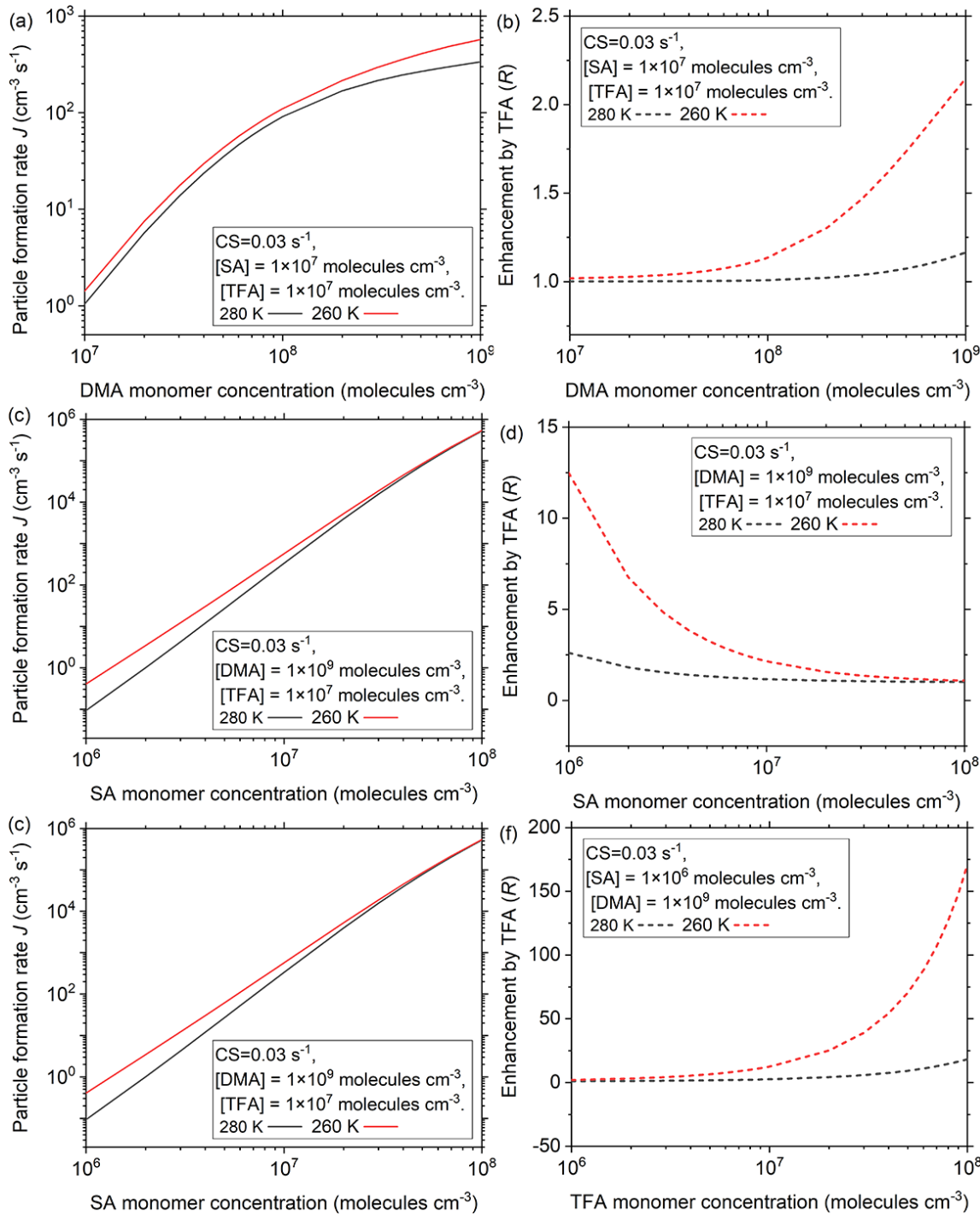
19

20



21

22 Figure S1. Particle formation rates (J , $\text{cm}^{-3} \text{s}^{-1}$) at different temperatures (280 K and 260 K) as a
23 function of (a) DMA monomer concentrations, (c) SA monomer concentrations and (e) TFA
24 monomer concentrations. Enhancement of particle formation rate by TFA (R , $R = J_{\text{SA-DMA-TFA}}/J_{\text{SA-DMA}}$)
25 at different temperatures as a function of (b) DMA monomer concentrations, (d) SA monomer
26 concentrations and (f) TFA monomer concentrations. Black and red lines are corresponding to 280
27 K and 260 K, respectively. CS = 0.01 s^{-1} .



28

29 Figure S2. Particle formation rates (J , $\text{cm}^{-3} \text{s}^{-1}$) at different temperatures (280 K and 260 K) as a
30 function of (a) DMA monomer concentrations, (c) SA monomer concentrations and (e) TFA
31 monomer concentrations. Enhancement of particle formation rate by TFA (R , $R = J_{\text{SA-DMA-TFA}}/J_{\text{SA-DMA}}$)
32 at different temperatures as a function of (b) DMA monomer concentrations, (d) SA monomer
33 concentrations and (f) TFA monomer concentrations. Black and red lines are corresponding to 280
34 K and 260 K, respectively. CS = 0.03 s^{-1} .

- 35 **References**
- 36 Lu, Y., Liu, L., Ning, A., Yang, G., Liu, Y., Kurtén, T., Vehkamäki, H., Zhang, X., Wang, L.,
37 2020. Atmospheric sulfuric acid-dimethylamine nucleation enhanced by trifluoroacetic acid.
38 Geophys. Res. Lett. 47. <https://doi.org/10.1029/2019gl085627>
39